

Bild 4a. Prognosefehler des CCIR-Modells

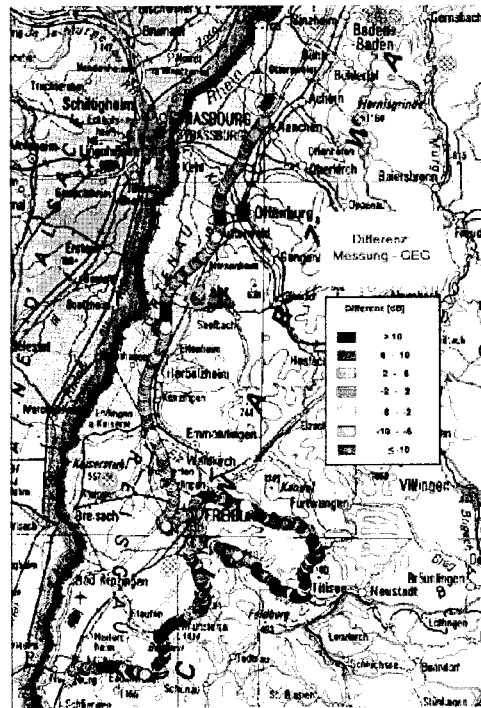


Bild 4b. Prognosefehler des GEG-Modells

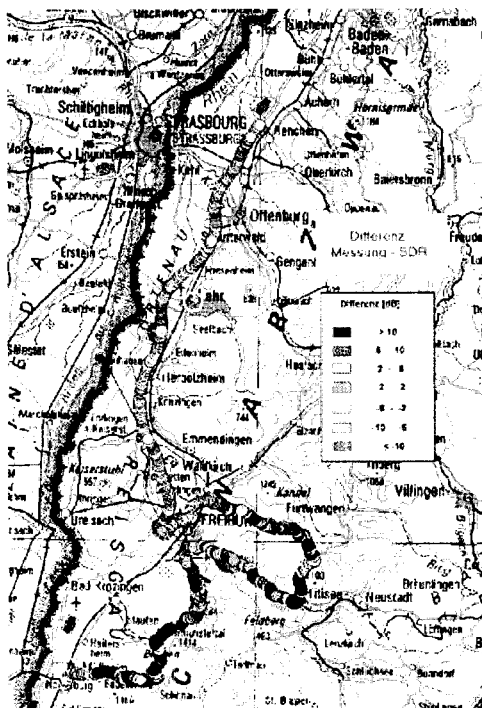


Bild 4c. Prognosefehler des SDR-Modells

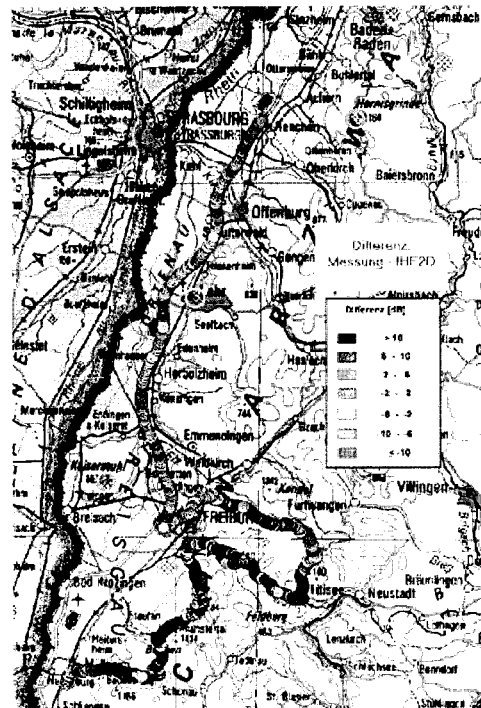


Bild 4d. Prognosefehler des IHE2D-Modells